УДК 546.05

Плазмодинамический синтез оксидов вольфрама в среде углекислого газа

А.И. Циммерман, А.Р. Насырбаев, Д.С. Никитин Научный руководитель: доцент, к.т.н., И.И. Шаненков Национальный исследовательский Томский политехнический университет, Россия, г. Томск, пр. Ленина, 30, 634050 E-mail: alextsimmer@yandex.ru

Plasma dynamic synthesis of tungsten oxides in carbon dioxide medium

A.I. Tsimmerman, A.R. Nassyrbayev, D.S. Nikitin Scientific Supervisor: Assoc. Prof., Ph.D. I.I. Shanenkov Tomsk Polytechnic University, Russia, Tomsk, Lenin str., 30, 634050 E-mail: alextsimmer@yandex.ru

Abstract. In the present study, we synthesized utrafine tungsten oxide predominantly containing cubic phase (> 90 wt. %) when spraying the high-speed plasma jet in the carbon dioxide medium. Interaction between high-energy plasma and CO₂ medium results in releasing oxygen, which oxidizes tungsten-containing plasma generated by a coaxial magnetoplasma accelerator. The mentioned process provides the formation of ultrafine tungsten oxide powder. X-ray diffractometry analysis allowed determining the dominance of cubic phase in the product structure. The revealed feature of the obtained powder gives a ground to consider the plasma dynamic synthesis as a promising technique for further investigations in W-O system.

Key words: Tungsten oxide; thermal plasma spraying; carbon dioxide; ultrafine powder; XRD.

Введение

Оксиды вольфрама отличаются высокими оптическими и электрическими свойствами, что обуславливает их широкое распространение в приложениях фото- и электрокатализа, детектирования газов, накопления энергии (например, в составе литиевых батарей) [1]. Структуры оксидов вольфрама и, в частности, WO₃ чрезвычайно разнообразны, что связано с широким диапазоном возможных положений элементарных WO₆ октаэдров, благодаря чему могут образовываться триклинная (δ -WO₃), моноклинная (γ -WO₃), орторомбическая (β -WO₃) и тетрагональная (α -WO₃) модификации. При этом, согласно фазовой диаграмме переходов в зависимости от температуры отжига (δ -WO₃ (от -27 до 20 °C) $\rightarrow \gamma$ -WO₃ (от 20 до 339 °C) $\rightarrow \beta$ -WO₃ (от 339 до 740 °C) $\rightarrow \alpha$ -WO₃ (от 740 до 1470 °C), самой термодинамически стабильной при комнатной температуре является моноклинная фаза γ -WO₃ [2]. Однако в литературе встречается также упоминание более редкой, кубической модификации с-WO₃, синтез которой затруднен из-за узкого температурного диапазона существования и фазовых превращений в системе W-O при снижении температуры.

Несмотря на имеющиеся в литературе отдельные сообщения о синтезе кубической фазы оксида вольфрама [3–5], все они преимущественно получаются при использовании опасных газов (например, аммиак) или кислот и в процессе ряда сложных термохимических реакций. В данной работе продемонстрирован принципиально новый подход к получению данной фазы, представляющий собой плазмохимическую реакцию взаимодействия импульсной электроразрядной плазмы, распыляемой в среде углекислого газа, с кислородом, высвобождаемым в результате высокоэнергетического разложения CO_2 , что позволяет получить на выходе дисперсный продукт с содержанием с- VO_3 более 90 мас. %.

Экспериментальная часть

Для получения кубического карбида вольфрама с-WO₃ использован метод плазмодинамического синтеза, основанный на применении коаксиального магнитоплазменного

ускорителя как генератора низкотемпературной плазмы [6]. При подведении разности потенциалов от емкостного накопителя энергии (зарядное напряжение $U_{\rm зар}=2.5$ кВ, емкость C=14.4 мФ), служащего в качестве источника электропитания, между центральным электродом и электродом-стволом ускорителя возникает дуговой разряд, формирующий плазменный поток. При его ускорении происходит электрическая эрозия электода-ствола, за счет чего в плазму вовлекается вольфрам, как прекурсор плазмохимической реакции. Второй компонент, кислород, поступает в реакционную зону при истечении плазменного потока в камеру-реактор, наполненную углекислым газом (1 атм, комнатная температура), что сопровождается его частичным разложением $CO_2 \rightarrow CO + O_2$. В результате происходит окисление эродированного вольфрама и кристаллизация продукта. Его сбор осуществляется со стенок камеры-реактора через 1 час. В табл. 1 представлены энергетические параметры экспериментальной серии, включая напряжение на дуговой стадии $U_{\rm д}$, максимальные ток $I_{\rm M}$ и мощность $P_{\rm M}$, выделившуюся энергию W, время импульса $t_{\rm имп}$, величину эрозии электродов Δm и массу собранного порошка m.

Энергетические параметры экспериментальной серии

Таблица 1

U _д , кВ	I _м , кА	Рм, кВт	W, кДж	t _{имп} , мкс	Δm, Γ	т, г
0,88	129,60	112,67	24,75	450,4	1,0	1,1

Результаты

Синтезированный продукт исследован современными аналитическими методами, включая рентгеновскую дифрактометрию и сканирующую электронную микроскопию. На рис. 1 представлена рентгеновская дифрактограмма продукта. Особенность фазового состава продукта состоит в формировании оксидов вольфрама в присутствии чистого вольфрама. В процессе плазменного воздействия жидкофазный вольфрам частично окисляется с образованием кристаллических фаз WO₃, но также остается и в неокисленной форме, причем в виде двух модификаций: устойчивой α-фазы в виде структуры кубической сингонии (ОЦК, пространственная группа Im3m, no. 229, a = 3,1648 Å) и метастабильной β-фазы в виде структуры кубической сингонии (пространственная группа Pm3n, no. 223, a = 5,05 Å). Преимущественно в продукте образуется устойчивая α -модификация (примерно в 2,5 раза больше). В части оксидов в продукте образуется практически однофазный состав, содержащий кубический с-WO₃ (Pm-3m, no. 221, a = 3.8380 Å), количественный выход которого составляет ~ 90 мас. %, также есть следы фазы δ-WO₃. Таким образом, плазменное воздействие в среде CO₂ в системе W-O при отмеченных энергетических параметрах приводит к образованию стехиометрической метастабильной модификации оксида вольфрама. Это, по-видимому, связано с времени высокотемпературного воздействия и последующего сверхбыстрого охлаждения, поскольку с-WO₃ чувствителен к изменениям температуры.

На рис. 2 представлены результаты сканирующей электронной микроскопии продукта плазмодинамического синтеза.

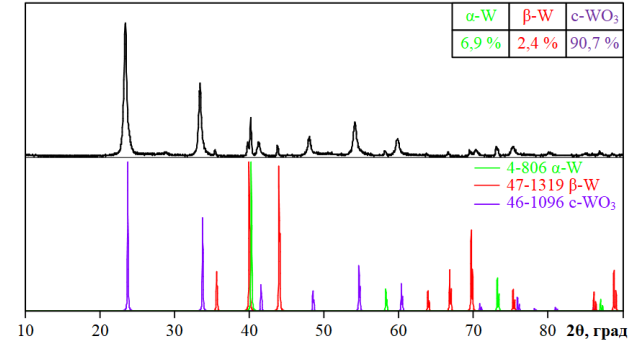


Рис. 1. Рентгеновская дифрактограмма продукта плазмодинамического синтеза

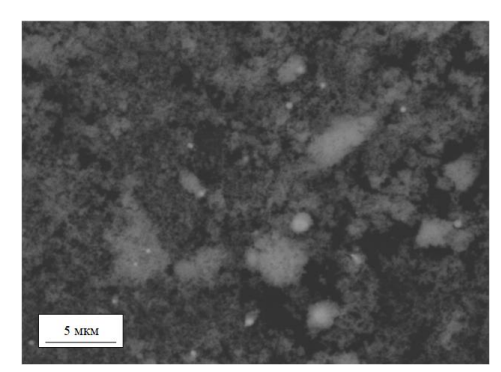


Рис. 2. Микрофотография продукта плазмодинамического синтеза

Представленный микроснимок свидетельствует о высокой дисперсности получаемого продукта: фактически немногочисленное количество частиц выходят за пределы 1 мкм. Остальная часть материала находится в пределах сотен нм.

Заключение

В результате проведенных исследований показана возможность плазмодинамического синтеза оксида вольфрама в среде углекислого газа. При использовании одноимпульсного режима работы коаксиального магнитоплазменного ускорителя зафиксировано разложение CO₂, приводящее к частичному окислению эродированного вольфрама. Согласно данным рентгенофазового анализа, ключевой особенностью получаемого в таких условиях продукта является доминирование кубической фазы с-WO₃ при незначительном присутствии чистой металлической составляющей. Результаты сканирующей электронной микроскопия демонстрируют образование высокодисперсного продукта с размером частиц до сотен нм.

Работа выполнена при поддержке Российского научного фонда № 24-79-10113, https://rscf.ru/project/24-79-10113/.

Список литературы

- 1. Kong Y., Sun H., Zhao X., Gao B., Fan W. Fabrication of hexagonal/cubic tungsten oxide homojunction with improved photocatalytic activity // Applied Catalysis A: General. 2015. Vol. 505. P. 447–455.
- 2. Mardare C.C., Hassel A.W. Review on the versatility of tungsten oxide coatings // Physica Status Solidi (a). 2019. Vol. 216, № 12. P. 1900047.
- 3. Siedle A.R., Wood T.E., Brostrom M.L., Koskenmaki D.C., Montez B., Oldfield E. Solidstate polymerization of molecular metal oxide clusters: aluminum 12-tungstophosphate // Journal of the American Chemical Society. − 1989. − Vol.111, № 5. − P. 1665–1669.
- 4. Guery C., Choquet C., Dujeancourt F., Tarascon J.M., Lassegues J.C. Infrared and X-ray studies of hydrogen intercalation in different tungsten trioxides and tungsten trioxide hydrates // Journal of Solid State Electrochemistry. 1997. Vol. 1. P. 199–207.
- 5. Xu Z., Tabata I., Hirogaki K., Hisada K., Wang T., Wang S., Hori T. Preparation of platinum-loaded cubic tungsten oxide: A highly efficient visible light-driven photocatalyst // Materials Letters. -2011. Vol. 65, No 9. P. 1252–1256.
- 6. Shanenkov I., Nikitin D., Ivashutenko A., Shanenkova Y., Vympina Y., Butenko D., Han W., Sivkov A. Studies on the thermal stability of nanosized powder of WC1-x-based product prepared by plasma dynamic method, compaction feasibility of the powder and preparation of composite with aluminium // Ceramics International. -2021. Vol. 47, N₂ 5. P. 6884–6895.